

УДК 535.34-15 : 548.0

ИНТЕРПРЕТАЦИЯ ИК СПЕКТРА КРИСТАЛЛА НАФТАЛИНА
В ОБЛАСТИ ВАЛЕНТНЫХ КОЛЕБАНИЙ С—Н-СВЯЗЕЙ
3000—3100 см⁻¹

В. Л. Броуде и Л. М. Умаров

Проведен анализ ИК спектра кристалла нафтилина в районе 3000—3100 см⁻¹. Получена непротиворечивая интерпретация наблюдаемых интенсивных полос поглощения. Найдены значения частот внутримолекулярных колебаний (в обратных сантиметрах): $\nu_{4f}^{A_u} = 1460$, $\nu_{35}^{B_{1u}} = 1595$, $\nu_{30}^{B_{1u}} = 3048$, $\nu_{35}^{B_{2u}} = 3068$, $\nu_{41}^{B_{1u}} = 3062$ и $\nu_{42}^{B_{1u}} = 3004$. Из температурной зависимости спектра определены положения максимумов фононных крыльев, сопровождающих $\nu_{30}^{B_{1u}}$ и $\nu_{35}^{B_{1u}}$, и отстоящих на ~ 51 см⁻¹ от бесфононных полос.

В инфракрасных (ИК) спектрах поглощения кристалла нафтилина в районе 3000—3100 см⁻¹ наблюдается сложная система относительно узких, близко расположенных и в значительной степени перекрытых полос [1]. В этих условиях можно ожидать одновременного проявления как Ферми-резонансного, так и экситонного расщепления полос [2, 3], затрудняющих интерпретацию указанного спектра.

Таблица 1

Поляризационные отношения в модели ориентированного газа для полос, отвечающих возможным симметриям молекулярных колебаний

	$P_{a/b}$	$P_{c/b}$
$B_{1u} (\parallel L)$	4.2	23
$B_{2u} (\parallel M)$	0.14	0.025
$B_{3u} (\parallel N)$	3.6	0.2

Свободная молекула нафтилина $C_{10}H_8$ имеет симметрию D_{2h} . Из 48 нормальных колебаний этой молекулы в ИК спектрах активны 20 ($8B_{1u} + 8B_{2u} + 4B_{3u}$) с дипольным моментом перехода, направленным соответственно по осям L (длинной), M (короткой) и N (перпендикулярной плоскости молекулы). При этом в области 3000—3100 см⁻¹, по данным разных авторов [4—6], должны быть активны четыре основных тона колебаний, преимущественно обязаны симметрии С—Н-связей. Два из них должны принадлежать симметрии B_{1u} , а два — B_{2u} . Кристалл нафтилина относится к моноклинной сингонии с точечной группой симметрии C_{2h}^5 . Согласно приближенной модели ориентированного газа, в ИК спектре кристалла внеплоскостные молекулярные моды, принадлежащие симметрии B_{3u} , проявляются в виде максимумов поглощения, поляризованных преимущественно в направлении кристаллографической оси a , в то время как внутриплоскостные молекулярные моды, принадлежащие симметриям B_{2u} и B_{1u} с поляризацией, главным образом в направлении осей b и c соответственно (табл. 1). С другой стороны, поскольку в кристалле нафтилина две молекулы в элементарной ячейке, каждая из соответствующих полос поглощения должна, вообще говоря, расщепиться на две компоненты со строгой поляризацией вдоль оси b кристалла (A_u) и в его ac -плоскости (B_u).

В настоящей работе мы попытались разделить вклады внутримолекулярных и межмолекулярных явлений в поглощение, измерить поляриза-

ционные отношения полос, принадлежащих разным колебательным модам, и тем самым осуществить детальный анализ структуры ИК спектра кристалла нафтилина в области 3000—3100 см⁻¹.

Условия эксперимента

Исследовались спектры поглощения монокристаллических пластинок нафтилина с развитыми плоскостями *ab* и *bc*, а также изотопически смешанных кристаллов нафтилина-*h*₈ и нафтилина-*d*₈ в поляризованном свете в интервале температур 90—300° К. Монокристаллы нафтилина с развитой плоскостью *ab* выращивались в тонкослойных (5—15 мкм) кюветах из плавленного кварца по обычной методике [7], а для получения кристаллов с развитой плоскостью *bc* из массивного монокристалла нафтилина вырезались соответствующие пластинки, толщина которых затем доводилась до требуемой (~15 мкм) последовательной полировкой и травлением в бензole и спирте. Образец закреплялся в оправе на хладопроводе азотного криостата.

Для уменьшения влияния поляризации излучения при отражении на деталях спектрометра UR-20 ось *b* исследуемого кристалла выставлялась под углом 45° к щели прибора. В качестве поляризатора использовалась стопа из восьми пластинок AgCl, расположенная под углом Брюстера к излучению, обладающая поляризующей способностью около 93%. Спектральное разрешение прибора при 3050 см⁻¹ составляло 3 см⁻¹, значения частот определялись с точностью ~1 см⁻¹.

Обработка измеренных спектров пропускания проводилась с помощью формулы Ламберта—Бугера с учетом многократного отражения. Величина показателя преломления нафтилина принималась равной 1.6. Прямой учет отражений при помощи эталона из тонкого кристалла нафтилина, помещаемого в поток сравнения спектрометра, давал идентичные результаты в пределах ошибок измерений (оптическая плотность определялась с точностью 5—10%).

Результаты и их обсуждение

Представленный на рис. 1 спектр поглощения кристалла нафтилина с развитой плоскостью *ab* и толщиной 0.001 см отличается от данных [1] более точным учетом как отражений от кюветы и образца, так и поляризующей способности спектрометра. Кроме того, все изучаемые полосы были измерены в идентичных по оптической плотности условиях при $\alpha l \approx 1$, где α — коэффициент поглощения в обратных сантиметрах, *l* — толщина кристалла в сантиметрах. В полученном спектре наиболее интенсивные полосы поглощения расположены в *b*-компоненте с частотами 3048 и 3068 см⁻¹. Согласно рис. 1, они характеризуются поляризационными отношениями P_{ab} соответственно 0.15 и 0.13, что по модели ориентированного газа близко к значению, отвечающему симметрии B_{2g} (табл. 1).

Экспериментально было установлено, что наблюдение слабых полос 3049 и 3069 см⁻¹ при поляризации падающего излучения $E \perp b$ нельзя объяснить дефектом поляризации света использованных поляризаторов. Это же можно сказать и о полосах 3055 ($\parallel b$)/3054 ($\perp b$) и полосе 3062 см⁻¹. Однако полосы 3055/3054 см⁻¹ заметно перекрывают с соседними полосами и для более точного вычисления значений поляризационных отношений необходимо было эти полосы разделить. Это осуществлялось в предположении, что указанные полосы имеют лорентцовую форму. Найденное поляризационное отношение для полосы 3055/3054 см⁻¹, равное $P_{ab}=0.9$, не позволяет отнести ее ни к одному из известных типов молекулярных колебаний. Получить достоверное значение поляризационного отношения для полосы 3062 см⁻¹ не удается вообще, поскольку для этого необходимо выделение очень слабой полосы в *b*-компоненте спектра, расположенной на фоне других, значительно более интенсивных полос. Однако качественные оценки показывают, что это отношение вряд ли существенно отличается от

чается от единицы. Таким образом, на участке спектра 3045—3070 см^{-1} две сильные полосы 3048/3049 и 3068/3069 см^{-1} можно со всей определенностью отнести к симметрии B_{2u} , в то время как остальные полосы без дополнительных исследований не могут быть отнесены к какому-либо из известных типов колебаний.

Чтобы установить, как влияют межмолекулярные явления на структуру наблюдаемого поглощения, мы обратились к исследованию спектров бинарных смешанных изотопических кристаллов нафталина- h_8 и нафталина- d_8 .

На рис. 2 представлены типичные спектры поглощения кристаллов, содержащих 18% (а) и 2% (б) примеси нафталина- h_8 , измеренные при 90° К. Поскольку в обсуждаемой области в чистом кристалле нафталина d_8 поглощение полностью отсутствует, наблюдаемый спектр отвечает только примеси нафталина- h_8 . Для расчета коэффициента поглощения α (ν) использовалась величина эффективной толщины кристалла, которая определялась концентрацией нафталина- h_8 . В образце с концентрацией примеси 18% экситонное расщепление, обусловленное межмолекулярным резонансом между молекулами нафталина- h_8 , должно быть примерно в 4—5 раз меньше, чем в чистом кристалле нафталина- h_8 , а при концентрации примеси 2% должно исчезнуть практически полностью [8]. Возможно

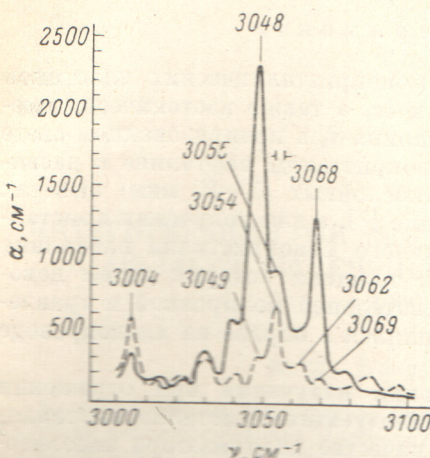


Рис. 1. Спектр поглощения (90° К) кристалла нафталина с развитой ad -плоскостью.

Сплошная линия соответствует $E \parallel b$, штриховая — $E \perp b$.

ным резонансом между молекулами в 4—5 раз меньше, чем в чистом кристалле нафталина- h_8 , а при концентрации примеси 2% должно исчезнуть практически полностью [8]. Возможно

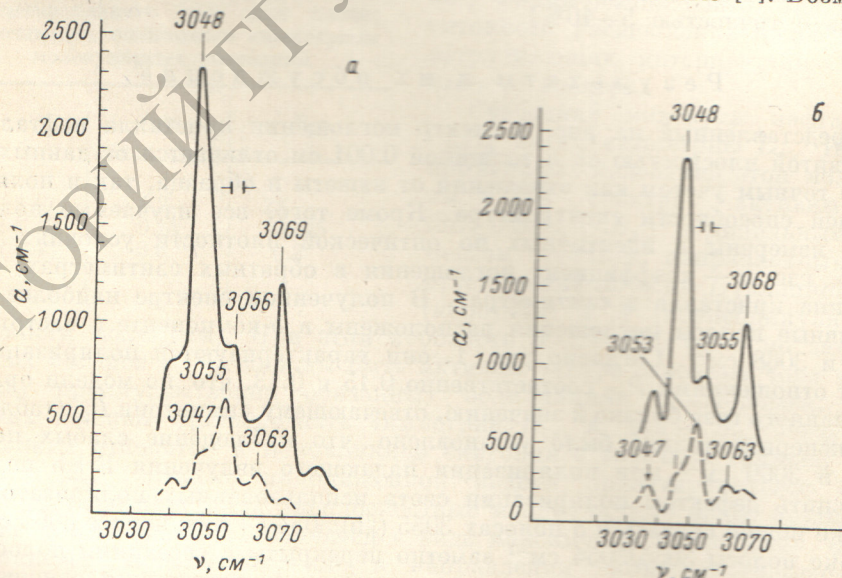


Рис. 2. Спектр поглощения (90° К) изотопически смешанного кристалла, содержащего 18% $h_8 + 82\%$ d_8 (а) и 2% $h_8 + 98\%$ d_8 (б).

а: сплошная линия соответствует $E \parallel b$, штриховая — $E \perp b$; б: сплошная линия — $E \parallel b$, штриховая — $E \perp b$.

также проявление кластеров в спектре поглощения [9], что при определенных условиях может быть принято за экситонное расщепление. Однако из сравнения спектров чистого (рис. 1) и обоих примесных кристаллов (рис. 2, а, б) можно заключить, что экситонные явления в кристалле

нафталина- h_8 в области активности С—Н-связей 3000—3100 см⁻¹ очень малы и имеющиеся экситонные расщепления находятся в пределах ошибок измерений (не более 1—2 см⁻¹). Поэтому форма и характер спектра поглощения чистого кристалла нафталина практически полностью определяются внутримолекулярными процессами. В этом отношении сделанные ранее [1] заключения о заметном проявлении экситонных явлений в наблюдаемом спектре кристалла нафталина в области 3040—3070 см⁻¹, по-видимому, являются ошибочными. Такой вывод был сделан [1] на основании сравнения спектров кристалла нафталина и спектров жидкого раствора нафталина в CCl₄. Спектр жидкого раствора нафталина, действительно, выглядит более простым, однако широкие и интенсивные полосы,

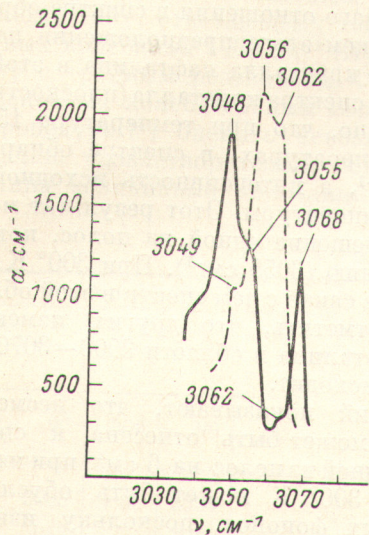


Рис. 3. Спектр поглощения (90° K) кристалла нафталина с развитой bc -плоскостью.

Сплошная линия — $E \parallel b$, штриховая — $E \perp b$.

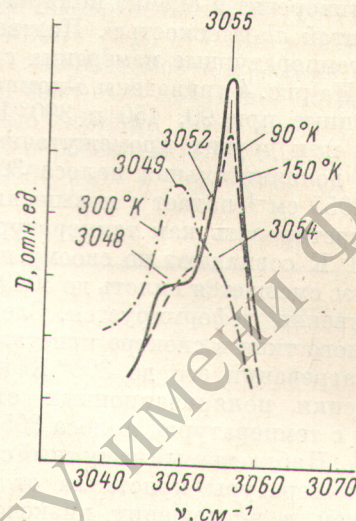


Рис. 4. Температурная зависимость b -компоненты спектра поглощения кристалла нафталина (ab -плоскость).

наблюдаемые в нем, маскируют значительно более сложную тонкую структуру. В этом можно убедиться, измерив спектры замороженных растворов, или как было показано выше, спектры изотопически смешанных кристаллов.

Дополнительно был измерен спектр кристалла нафталина с развитой плоскостью bc толщиной 0.0015 см (рис. 3). Как следует из сопоставления спектров, приведенных на рис. 3 и 1, на участке 3040—3070 см⁻¹ наряду с интенсивными полосами 3048 и 3068 см⁻¹ с предположенной выше симметрией (B_{2u}) наблюдается широкая и интенсивная полоса 3056 см⁻¹ с плечом около 3062 см⁻¹, имеющая существенно иное поляризационное отношение.

Для более точного измерения поляризационных отношений в этом спектре было осуществлено графическое разделение полос по способу, указанному выше. При этом для полос 3048/3049 и 3068/3069 см⁻¹ (рис. 3) были найдены значения $P_{c/b}$ около 0.1—0.2, в то время как для колебаний симметрии B_{2u} следовало ожидать несколько меньшую величину (0.025). Экспериментально найденные значения поляризационных отношений можно было бы использовать для сопоставления обсуждаемых полос с молекулярными колебаниями симметрии B_{3u} (табл. 1). Однако такой интерпретации резко противоречат приведенные выше данные по исследованию кристаллов с развитой плоскостью ab . Поэтому можно полагать, что отклонение измеренных поляризационных отношений для кристалла с развитой плоскостью bc от данных модели ориентированного

газа вызвано неточностями графического выделения слабых полос из общего контура поглощения в c^* -компоненте спектра.

Сильным полосам c^* -компоненты спектра 3056 и 3062 см⁻¹ отвечают поляризационные отношения $P_{c/b}$, равные 2 и ~ 11 соответственно. На этом основании довольно достоверно сопоставлять полосе 3062 см⁻¹ симметрии B_{1u} , а расхождение с ожидаемым по модели ориентированного газа значением $P_{c/b}=22$ можно вновь связывать с неточностью выделения слабой полосы 3062 см⁻¹ в b -компоненте спектра. Что касается полосы 3056/3055 см⁻¹, то найденное для нее поляризационное отношение, которое не совпадает ни с одним из предсказываемых по модели ориентированного газа, может свидетельствовать о случайном совпадении в этой области двух полос с разными поляризациями. Этому, вообще говоря, не противоречит и оценка поляризационного отношения в спектре образца с развитой ab -плоскостью. Подтверждением этого предположения послужили температурные измерения спектра кристалла нафталина в этой области. На рис. 4 приведены b -компоненты спектра кристалла (плоскость ab), полученные при 90, 150 и 300° К. Видно, что при температуре 150° К (как и при других промежуточных температурах) в спектре обнаруживается дополнительная полоса 3052 см⁻¹, а интенсивность исходной полосы 3055 см⁻¹ падает с повышением температуры. Этот результат можно интерпретировать как температурное смещение одной из полос, которые при 90° К совпадают по своему расположению (3055 см⁻¹). При 300° К одна из полос смещается вплоть до 3049 см⁻¹, в связи с чем спектр в этой области существенно деформируется. Следует отметить, что других изменений подобного типа в спектре кристалла нафталина в области 3000—3070 см⁻¹ при нагревании его до 300° К не происходит.

Оценки поляризационных отношений показывают, что несмещающаяся с температурой полоса 3055 см⁻¹ может быть отнесена к симметрии B_{2u} . Наблюдаемый частотный сдвиг одной из полос на 6 см⁻¹ при изменении температуры кристалла от 90 до 300° К может быть обусловлен участием в поглощении низкочастотных фоновых, поскольку известна заметная температурная зависимость их величин [10] и малая чувствительность к температуре величин молекулярных колебаний. В этом случае сдвигающаяся с температурой полоса должна быть сопоставлена некоторому максимуму в фоновом крыле одной из полос внутримолекулярных колебаний. В низкочастотном спектре кристалла нафталина известны вращательные моды с предельными частотами (77° К) 56, 67, 83, 88, 121, 141 см⁻¹ [10] и трансляционные фононы с предельными частотами 44, 75 и 106 см⁻¹ [10, 11]. По этой причине найденный максимум фонового крыла 3055 см⁻¹ (90° К) следует связывать с бесфоновой полосой, которая должна быть расположена приблизительно между 3010 и 2995 см⁻¹. В этой области действительно есть относительно интенсивная полоса 3004 см⁻¹, относящаяся, судя по соответствующим поляризационным отношениям ($P_{a/b} \approx 3$, $P_{c/b} \approx 12$), к симметрии B_{1u} . Таким образом, максимум фонового крыла оказывается сдвинутым на ~ 51 см⁻¹ (90° К) от бесфоновой полосы. Это не противоречит данным по спектральной плотности в фоновом спектре [12], где наиболее интенсивный всплеск наблюдается вблизи 50 см⁻¹. Кроме того, полученное значение практически совпадает с наблюдаемым положением максимума фонового крыла в электронно-колебательном спектре поглощения кристалла [13]. Смещение полосы от 3055 до 3049 см⁻¹ при нагреве до 300° К также близко к известному температурному изменению предельной частоты фононов симметрии B_g , 56—46 см⁻¹ (77 и 293° К соответственно) [10].

В связи с вышеизложенным можно было предположить, что в более высокочастотной области вблизи 3100—3120 см⁻¹ должны наблюдаться температурно смещаемые полосы, отвечающие фоновным крыльям интенсивных полос 3048 и 3068 см⁻¹. Действительно, предварительные измерения сразу же позволили обнаружить полосу 3115—3120 см⁻¹ (300 и 90° К соответственно), которую по этой причине можно сопоставлять максимуму фонового крыла полосы 3068 см⁻¹ (B_{2u}).

Итак, в обсуждаемой области найдены три полосы симметрии B_{2u} (3048, 3055 и 3068 см⁻¹) и две полосы симметрии B_{1u} (3004 и 3062 см⁻¹). Согласно многочисленным расчетам нафталина [4–6] в этой области, как уже упоминалось, должны быть разрешены лишь два молекулярных колебания симметрии B_{2u} и два колебания симметрии B_{1u} .¹ Задача, таким образом, сводится к идентификации одной из трех наблюдаемых полос симметрии B_{2u} с составным колебанием, получившим разрешение в оптическом спектре в результате Ферми-резонанса.² Рассматривая b -компоненты спектров кристаллов с развитыми плоскостями ab (рис. 1) и bc (рис. 3), можно увидеть, что в обоих случаях полоса 3055 см⁻¹ заметно слабее двух других полос той же симметрии. На этом основании именно эту полосу следует сопоставлять запрещенному в нулевом приближении составному тону, отвечающему тогда единственному возможному сочетанию известных колебаний 1460 см⁻¹ (A_{1g}) и 1595 см⁻¹ (B_{2u}) [14]. Мы имеем дело поэтому с тройным резонансом Ферми и наблюдаемое положение полос двух основных колебательных мод 3048 и 3068 см⁻¹ позволяет по известной процедуре [2] оценить невозмущенные позиции 3051 и 3066 см⁻¹. Эти оценки удовлетворительно совпадают с рассчитанными для молекул нафталина величинами колебаний $\nu_{33}^{B_{2u}}=3054$ см⁻¹ и $\nu_{34}^{B_{2u}}=3065$ см⁻¹ [6].

Таблица 2

		$\nu, \text{ см}^{-1}$				$P_{a/b}$	$P_{c/b}$	Примечания к интерпретации
a	b	c						
$T^\circ, \text{ К}$								
300	90	300	90	90	90	90		
3003	3003	3003	3004		3	12		$\nu_{42} (B_{1u})$
	3013		3015					Слабые полосы
	3021		3022					
3030	3030	3031	3030					
	3040		3039					
3050	3049	3049	3048	3049	0.15	0.1—0.2		Плечо около сильной полосы 3048
								$\nu_{33} (B_{2u})$, смещена от своего невозмущенного положения 3054 в результате Ферми-резонанса
	3054	3049	3055	3056	0.9	2		Суперпозиция составного тона $\nu_4 (A_{1g}) + \nu_{35} (B_{2u}) = 1460 + 1595$ и максимума фононного крыла полосы $\nu_{42} (B_{1u}) (3004+51)$
		3054						$\nu_{41} (B_{1u})$
3063	{ 3062	3067	3068	3061.5	~1 0.13	~11 0.4—0.2		$\nu_{34} (B_{2u})$, смещена от своего невозмущенного положения 3065 в результате Ферми-резонанса
	3069							Слабые полосы
	3087		3079					
	3098		3086					
	3115		3120					Максимум фононного крыла полосы $\nu_{34} (B_{2u}) (3068+52)$

¹ Разрешенные в ИК спектре колебания симметрии B_{3u} имеют величины не более 1000 см⁻¹ [4].

² Как отмечалось выше, в ИК спектре кристалла нафталина в области 3000—3100 см⁻¹ можно было ожидать наложение резонанса Ферми на давыдовское экситонное расщепление. Однако, как следует из приведенных данных, экситонное расщепление полос очень невелико, и на структуру спектра в данном случае оказывает влияние практически только резонанс Ферми.

З а к л ю ч е н и е

В результате проведенного анализа, таким образом, удалось получить непротиворечивую интерпретацию всех основных полос в инфракрасном спектре кристалла нафтилина в районе 3000—3100 см⁻¹. Сводка полученных сведений дана в табл. 2. Особенno следует подчеркнуть, что замкнутую трактовку спектра можно было провести только при одновременном изучении примесного спектра в подходящей кристаллической матрице и при исследовании температурной зависимости положения полос поглощения.

Авторы признательны А. А. Мусихину, занимавшемуся ростом моно-кристаллов нафтилина для настоящего исследования.

Л и т е р а т у р а

- [1] В. Л. Броуде, А. А. Широков. Опт. и спектр., 34, 408, 1973.
- [2] М. П. Лисица, Н. Е. Ралко, А. М. Яремко. Опт. и спектр., 28, 235, 1970.
- [3] А. М. Яремко. Автореф. канд. дисс., Киев, 1972.
- [4] D. B. Scully, D. H. Wiffen. Spectrochim. Acta, 16, 1409, 1960.
- [5] I. R. Scheraga. J. Chem. Phys., 36, 3308, 1962.
- [6] D. E. Freeman, I. G. Ross. Spectrochim. Acta, 16, 1393, 1960.
- [7] Спектры поглощения молекулярных кристаллов, ред. В. Л. Броуде и А. Ф. Прихотько. Изд. «Наукова думка», Киев, 1965.
- [8] В. Л. Броуде, А. В. Лейдерман, Т. Г. Тратас. ФТТ, 13, 3624, 1971.
- [9] В. Л. Броуде, А. В. Лейдерман. Письма в ЖЭТФ, 13, 426, 1971.
- [10] M. Suzuki, T. Yokoouma, M. Itō. Spectrochim. Acta, 24A, 1091, 1968.
- [11] П. А. Бажулин, А. А. Рахимов. ФТТ, 8, 2163, 1966.
- [12] G. S. Pawley, P. A. Beaumont, J. K. Kjems, I. W. White. Sol. Stat. Comm., 9, 1333, 1971.
- [13] Н. В. Рабинькин, Э. И. Рашба, Е. Ф. Шека. ФТТ, 12, 3579, 1970.
- [14] G. S. Pawley, S. A. Cowin. J. Chem. Phys., 52, 4073, 1970.

Поступило в Редакцию 13 февраля 1974 г.